

## Удар тела о препятствие

© В.В. Лапшин

МГТУ им. Н.Э. Баумана, Москва, 105005, Россия

*Рассмотрена плоская задача упругого удара тела о шероховатую поверхность (препятствие) в рамках стереомеханической модели удара (модели удара Ньютона). Предполагается, что контакт тела с поверхностью осуществляется в одной точке. Формулы для расчета параметров удара и характеристик движения тела после удара зависят от особенностей скольжения пятна контакта в процессе удара. Скольжение может прекратиться в фазе деформации или в фазе восстановления, может продолжаться в течение всего удара в одном направлении, возможно и изменение направления скольжения в процессе удара. Показано, что тип удара или характер движения пятна контакта в процессе удара определяется с помощью графической картины на плоскости параметров угол трения и угол падения, который определяет направление скорости точки контакта тела с поверхностью до удара. В качестве границ, разделяющих области, соответствующие различным типам удара, выступают кривые, поведение которых зависит от положения точки контакта относительно центра масс тела, радиуса инерции тела, угла трения и коэффициента восстановления при ударе.*

**Ключевые слова:** удар, сухое трение, стереомеханическая модель.

**Введение.** Явление удара часто встречается при движении механических систем, в том числе при работе различных машин и механизмов [1–23]. Известны различные модели удара [1, 3, 4, 7, 9, 13–16, 18, 21–23].

В работе рассмотрен косой удар тела о неподвижную шероховатую поверхность (препятствие) в предположении, что тело совершает плоское движение и контакт имеет точечный характер. Предполагается, что ударные силы взаимодействия существенно больше остальных сил и действием последних можно пренебречь.

Наиболее точная модель удара связана с исследованием динамики движения вязкоупругопластичных деформируемых тел [4, 7, 9, 16], сложна и требует большого объема численных расчетов.

Модель удара Ньютона (стереомеханический удар) [15] основана на гипотезе, что время удара бесконечно мало и перемещением тела в процессе удара можно пренебречь. Ньютон сделал предположение, что при коллинеарном ударе коэффициент восстановления (отношение модулей скоростей тела после удара и до удара) определяется материалом, из которого изготовлены тела, и не зависит от скорости соударения. Он разделил процесс удара на две фазы. В фазе деформации скорость тела уменьшается до нуля и накапливается энергия упругих деформаций. В фазе восстановления накопленная потенциальная энергия освобождается, тело разгоняется и движется в противоположном направлении.

Пуассон [23] ввел другое определение коэффициента восстановления: отношение импульсов ударной силы взаимодействия в фазах восстановления и деформации. При коллинеарном ударе эти два определения коэффициента восстановления совпадают. В задаче о косом ударе тела о неподвижное препятствие (движение тела до удара и после удара произвольное) эти определения не эквивалентны и следует использовать определение Пуассона.

Модель удара Ньютона не позволяет определить многие важные параметры удара, его продолжительность, максимальную силу взаимодействия тел, их деформацию и т. д.

Широко распространена линейная вязкоупругая модель удара Кельвина — Фойхта [4, 7, 9, 16], согласно которой контактная сила взаимодействия тел при ударе сводится к линейной силе упругости и сопротивления  $F = F(x, \dot{x}) = -cx - \mu\dot{x}$ , где  $c$  и  $\mu$  — постоянные коэффициенты упругости и сопротивления;  $x$  — деформация тела и препятствия при ударе. В процессе удара значение  $x \geq 0$ . Уравнение движения тела при ударе является линейным дифференциальным уравнением с постоянными коэффициентами и имеет аналитическое решение. Коэффициент восстановления при ударе постоянный. Модель противоречит естественным физическим представлениям. Сила взаимодействия тел в начале и конце удара равна силе сопротивления и отлична от нуля. Если в процессе деформации меняется пятно контакта, предположение о линейной зависимости упругой силы взаимодействия и силы сопротивления от деформации является некорректным.

Герц [21] предположил, что упругая сила контактного взаимодействия тел при ударе зависит от деформации  $x$  так же, как и в случае статического равновесия. Он показал, что если тело и препятствие в окрестности точки контакта имеют сферические поверхности и их деформации малы по сравнению с радиусами, то с учетом увеличения пятна контакта и ростом деформации  $x$  сила упругого взаимодействия  $F(x) = -cx^{3/2}$ , где  $c$  — константа, ее значение определяется радиусами этих сферических поверхностей и материалом, из которого изготовлены тела. Отметим, что Герц рассматривал абсолютно упругий удар. В этом случае уравнение движения тела имеет интеграл энергии и интегрируется в квадратурах, т. е. его решение сводится к вычислению определенного интеграла.

Экспериментальные данные, приведенные в монографии Гольдсмита [4], показывают, что с ростом скорости соударения тел коэффициент восстановления монотонно убывает.

Хант и Кроссли [6, 22] предложили модель, которая является развитием модели Герца на случай, когда тело и препятствие подчиняются законам вязкоупругого деформирования. В рамках этой модели

коэффициент восстановления убывает с ростом скорости соударения, и результаты согласуются с экспериментальными данными [4].

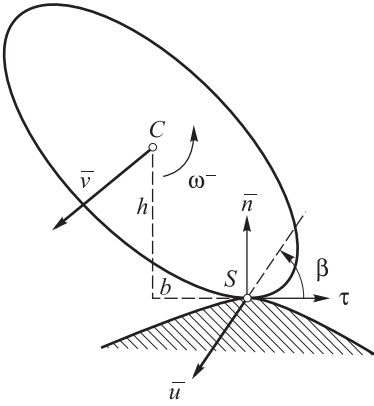
В волновой теории удара [4, 7, 9, 16] тела являются упругими и отсутствует остаточная деформация тел. Потеря энергии при ударе обусловлена возникающими при ударе упругими волнами распространения деформации. Скорость распространения этих волн зависит от свойств материала. В инженерной практике на основе волновой теории проводят расчет удара стержней о препятствие. Если время прохождения упругих волн через все тело меньше продолжительности удара и происходит несколько отражений волн за время удара, влиянием упругих волн можно пренебречь [4].

Многие прикладные задачи можно исследовать на основе теории удара Ньютона [1–23]; при условии что деформации при ударе малы, можно пренебречь волновыми процессами и остаточной деформацией. Эти предположения обуславливают ограничения на скорость соударения, используемые материалы, форму и размеры тела. Модель справедлива для компактных тел, изготовленных из достаточно жесткого материала. Скорость соударения должна быть достаточно высокой, чтобы ударные силы достигали больших значений и можно было пренебречь конечными силами, но в то же время и достаточно малой, чтобы не вызвать значительной деформации тела или его разрушения. Для того чтобы предположение о постоянстве коэффициента восстановления выполнялось, необходимо ограничиться узким диапазоном скоростей соударения.

Аналитическое решение плоской задачи об ударе тела о шероховатую поверхность при точечном контакте тела с поверхностью получено в [14, 17]. В этом случае однозначно можно определить импульс ударной силы реакции и выяснить характер движения (скорости) тела после удара. В настоящей работе показано, что тип удара или характер движения пятна контакта в процессе удара можно определить с помощью графических зависимостей на плоскости параметров угол трения  $\varphi$  и угол падения  $\beta$  (который определяет направление скорости пятна контакта тела с поверхностью до удара). Границами, разделяющими области, соответствующие различным типам удара, служат кривые, поведение которых зависит от положения точки контакта относительно центра масс тела, радиуса инерции тела, угла трения и коэффициента восстановления при ударе.

Рассматриваемая статья является естественным продолжением работы [10], в которой аналогичные результаты были получены для абсолютно неупругого удара.

**Исследование процесса удара.** Рассмотрим плоский упругий удар тела массой  $m$  о неподвижную шероховатую поверхность (рис. 1). Пусть  $C$  — центр масс тела,  $S$  — точка контакта тела с поверхностью



**Рис. 1.** Схема взаимодействия тела с препятствием (неподвижной поверхностью)

при ударе. Радиус инерции тела относительно центра масс обозначим  $\rho$ . Единичные вектора  $\bar{\tau}$  и  $\bar{n}$  определяют касательное и нормальное направление к поверхности в точке контакта  $S$ . Обозначим  $\bar{R} = (R_\tau, R_n)$  — касательный и нормальный импульсы ударной силы реакции в точке  $S$ . Положение центра масс  $C$  относительно точки  $S$  определяется параметрами  $h \geq 0$  и  $b$ . Не нарушая общности, можно считать, что центр масс  $C$  лежит слева от точки контакта  $S$ , при этом

$$b \geq 0. \quad (1)$$

Для случая  $b < 0$  (центр масс лежит справа от точки контакта) все результаты могут быть получены из соображений симметрии.

Обозначим  $\bar{v} = (v_\tau, v_n)$  — касательную и нормальную скорости центра масс,  $\bar{u} = (u_\tau, u_n)$  — касательную и нормальную скорости точки контакта  $S$ ,  $\omega$  — угловую скорость тела. За положительное примем направление угловой скорости против хода часовой стрелки. Скорости точек  $C$  и  $S$  связаны кинематическими соотношениями

$$u_\tau = v_\tau + \omega h, \quad u_n = v_n + \omega b. \quad (2)$$

Процесс удара разделим на две фазы: в фазе деформации нормальная составляющая скорости точки контакта уменьшается до нуля, оставаясь отрицательной, а в фазе восстановления нормальная составляющая скорости точки контакта увеличивается от нуля до некоторого положительного значения.

Нормальная скорость точки  $S$  до удара отрицательна, в конце фазы деформации равна нулю, после удара положительна, а нормальная составляющая импульса ударной силы реакции — не отрицательна:

$$u_n^- < 0, \quad u_n' = 0, \quad u_n^+ > 0, \quad R_n \geq 0. \quad (3)$$

Значения всех скоростей до удара будем обозначать верхним индексом «-», значения скоростей после удара верхним индексом «+», а значения скоростей в конце фазы деформации (или начале фазы восстановления) верхним индексом «'».

Уравнения удара (уравнения движения центра масс и изменения кинетического момента тела относительно центра масс) в фазе деформации имеют вид

$$\begin{aligned} m(v'_\tau - v^-_\tau) &= R'_\tau, \quad m(v'_n - v^-_n) = R'_n, \\ m\rho^2(\omega' - \omega^-) &= R'_n b + R'_\tau h, \end{aligned} \quad (4)$$

а в фазе восстановления —

$$\begin{aligned} m(v^+_\tau - v'_\tau) &= R''_\tau, \quad m(v^+_n - v'_n) = R''_n, \\ m\rho^2(\omega^+ - \omega') &= R''_n b + R''_\tau h. \end{aligned} \quad (5)$$

Здесь  $R'_n, R'_\tau, R''_n, R''_\tau$  — нормальные и касательные составляющие импульса ударной силы реакции в фазах деформации и восстановления соответственно. При этом для нормальных составляющих [23]  $R''_n = kR'_n$ , где  $0 \leq k \leq 1$  — коэффициент восстановления при ударе. При абсолютно неупругом ударе  $k = 0$ , а при абсолютно упругом ударе  $k = 1$ .

Учитывая соотношения (2)–(3), из выражений (4)–(5) получаем формулы для изменения скорости точки контакта  $S$  в фазе деформации:

$$\begin{aligned} m\rho^2(u'_\tau - u^-_\tau) &= R'_\tau(\rho^2 + h^2) + R'_n bh, \\ -m\rho^2 u^-_n &= R'_n(\rho^2 + b^2) + R'_\tau bh \end{aligned} \quad (6)$$

и фазе восстановления

$$\begin{aligned} m\rho^2(u^+_\tau - u'_\tau) &= R''_\tau(\rho^2 + h^2) + kR'_n bh, \\ m\rho^2 u^+_n &= kR'_n(\rho^2 + b^2) + R''_\tau bh. \end{aligned} \quad (7)$$

Отсюда находим

$$\begin{aligned} m\rho^2(u^+_\tau - u^-_\tau) &= R_\tau(\rho^2 + h^2) + R_n bh, \\ m\rho^2(u^+_n - u^-_n) &= R_n(\rho^2 + b^2) + R_\tau bh, \end{aligned}$$

где  $R_n = (1+k)R'_n$ ;  $R_\tau = R'_\tau + R''_\tau$ .

Примем гипотезу о том, что при ударе трение сводится к сухому трению [18, 23] с коэффициентом трения  $f$ :

$$|R_\tau| \leq f R_n.$$

Если точка контакта в процессе удара в течение некоторого (бесконечно малого) интервала времени имеет постоянное направление касательной скорости, в этой фазе удара  $R_\tau = -f R_n \text{sign } u_\tau$ .

В результате удара точка контакта  $S$  может в касательном к поверхности направлении остановиться или скользить в течение всего

удара. При этом если в процессе удара под действием трения касательная скорость  $u_\tau$  становится равной нулю в некоторый момент времени  $t^* \in [t^-, t^+]$ , это не означает, что в дальнейшем в процессе удара она останется равной нулю. Действительно, чтобы  $u_\tau \equiv 0$  при  $t \in [t^*, t^+]$  должны выполняться следующие соотношения:  $m\rho^2(u_\tau^+ - u_\tau^*) = 0 = R_\tau^{**}(\rho^2 + h^2) + R_n^{**}bh$ ,  $|R_\tau^{**}| \leq fR_n^{**}$ , где  $u_\tau^* = 0$  — касательная скорость точки контакта в момент  $t^*$ , а  $R_\tau^{**}, R_n^{**}$  — импульсы ударной силы реакции за время  $[t^*, t^+]$ . Отсюда

$$f \geq \frac{bh}{\rho^2 + h^2}. \quad (8)$$

Если условие (8) нарушено, то в силу геометрического положения тела точка контакта при  $t \in [t^*, t^+]$  скользит направо (см. рис. 1), т. е.  $u_\tau > 0$ , так как  $R_\tau^{**} = -fR_n^{**}$  и  $m\rho^2(u_\tau^+ - u_\tau^*) = m\rho^2 u_\tau^+ = R_\tau^{**}(\rho^2 + h^2) + R_n^{**}bh > 0$ . В этом случае произойдет изменение направления скольжения точки контакта. При  $t^* \in [t^-, t^+]$  точка контакта скользит налево, т. е.  $u_\tau < 0$ , или с отрицательной скоростью, которая под действием силы трения уменьшается до нуля, а затем начинает скользить направо с увеличивающейся положительной скоростью.

Перейдем к рассмотрению различных типов удара в зависимости от того, как осуществляется скольжение в процессе удара.

**Скольжение прекращается в фазе деформации.** При этом  $u' = u_\tau^+ = 0$ . Из уравнений удара (6)–(7) получаем

$$R'_n = m \frac{-u_n^-(\rho^2 + h^2) + u_\tau^- bh}{\rho^2 + b^2 + h^2}, \quad R'_\tau = m \frac{u_n^- bh - u_\tau^-(\rho^2 + b^2)}{\rho^2 + b^2 + h^2},$$

$$R''_\tau = -\frac{bh}{\rho^2 + h^2} k R'_n, \quad u_n^+ = \frac{k}{m} (\rho^2 + b^2 + h^2) R'_n.$$

Этот случай имеет место тогда и только тогда, когда выполняются условия

$$\begin{aligned} u_n^- \leq 0, \quad f \geq \frac{bh}{\rho^2 + h^2}, \quad u_n^-(\rho^2 + h^2) - u_\tau^- bh \leq 0, \\ u_n^- [bh + f(\rho^2 + h^2)] - u_\tau^- [\rho^2 + b^2 + fbh] \leq 0, \\ u_n^- [bh - f(\rho^2 + h^2)] - u_\tau^- [\rho^2 + b^2 - fbh] \geq 0. \end{aligned} \quad (9)$$

**Скольжение прекращается в фазе восстановления.** При этом  $\text{sign } u_{\tau}^{-} = \text{sign } u_{\tau}^{\prime}$ ,  $u_{\tau}^{+} = 0$ ,  $R_{\tau}^{\prime} = -f R_n^{\prime} \text{sign } u_{\tau}$ . Из уравнений удара (6)–(7) имеем

$$R_n^{\prime} = \frac{-m\rho^2 u_n^{-}}{\rho^2 + b^2 - f b h \text{sign } u_{\tau}}, \quad u_{\tau}^{\prime} = u_{\tau}^{-} - u_n^{-} \frac{b h - f(\rho^2 + h^2) \text{sign } u_{\tau}}{\rho^2 + b^2 - f b h \text{sign } u_{\tau}},$$

$$R_{\tau}^{\prime\prime} = -\frac{k R_n^{\prime} b h + m\rho^2 u_{\tau}^{\prime}}{\rho^2 + h^2}, \quad u_n^{+} = \frac{k R_n^{\prime}(\rho^2 + b^2) + R_{\tau}^{\prime\prime} b h}{m\rho^2}.$$

Этот случай имеет место тогда и только тогда, когда выполняются условия:

а) при скольжении направо

$$u_n^{-} \leq 0, \quad u_{\tau}^{-} > 0, \quad \frac{b h}{\rho^2 + h^2} \leq f \leq \frac{\rho^2 + b^2}{b h},$$

$$u_n^{-} [b h - f(\rho^2 + h^2)] - u_{\tau}^{-} [\rho^2 + b^2 - f b h] < 0, \quad (10)$$

$$(1+k) u_n^{-} [b h - f(\rho^2 + h^2)] - u_{\tau}^{-} [\rho^2 + b^2 - f b h] \geq 0;$$

б) при скольжении налево

$$u_n^{-} \leq 0, \quad u_{\tau}^{-} < 0, \quad f \geq \frac{b h}{\rho^2 + h^2},$$

$$u_n^{-} [b h + f(\rho^2 + h^2)] - u_{\tau}^{-} [\rho^2 + b^2 + f b h] > 0, \quad (11)$$

$$(1+k) u_n^{-} [b h + f(\rho^2 + h^2)] - u_{\tau}^{-} [\rho^2 + b^2 + f b h] \leq 0.$$

**Полное скольжение (без изменения направления).** При этом  $\text{sign } u_{\tau}^{-} = \text{sign } u_{\tau}^{+}$ ,  $R_{\tau}^{\prime} = -f R_n^{\prime} \text{sign } u_{\tau}$ ,  $R_{\tau}^{\prime\prime} = -f R_n^{\prime\prime} \text{sign } u_{\tau} = -f k R_n^{\prime} \text{sign } u_{\tau}$ . Из уравнений удара (6)–(7) получаем

$$R_n^{\prime} = \frac{-m\rho^2 u_n^{-}}{\rho^2 + b^2 - f b h \text{sign } u_{\tau}}, \quad u_{\tau}^{\prime} = u_{\tau}^{-} - u_n^{-} \frac{b h - f(\rho^2 + h^2) \text{sign } u_{\tau}}{\rho^2 + b^2 - f b h \text{sign } u_{\tau}},$$

$$u_{\tau}^{+} = u_{\tau}^{\prime} + \frac{k R_n^{\prime} [b h - f(\rho^2 + h^2) \text{sign } u_{\tau}]}{m\rho^2},$$

$$u_{\tau}^{+} = u_{\tau}^{-} - (1+k) u_n^{-} \frac{b h - f(\rho^2 + h^2) \text{sign } u_{\tau}}{\rho^2 + b^2 - f b h \text{sign } u_{\tau}}, \quad u_n^{+} = -k u_n^{-}.$$

Этот случай имеет место тогда и только тогда, когда выполняются условия:

а) при скольжении направо

$$u_n^- \leq 0, \quad u_\tau^- > 0, \quad f \leq \frac{\rho^2 + b^2}{bh},$$

$$u_n^- [bh - f(\rho^2 + h^2)] - u_\tau^- [\rho^2 + b^2 - fbh] < 0, \quad (12)$$

$$(1+k)u_n^- [bh - f(\rho^2 + h^2)] - u_\tau^- [\rho^2 + b^2 - fbh] < 0;$$

б) при скольжении налево

$$u_n^- \leq 0, \quad u_\tau^- < 0, \quad (13)$$

$$(1+k)u_n^- [bh + f(\rho^2 + h^2)] - u_\tau^- [\rho^2 + b^2 + fbh] > 0.$$

**Изменение направления скольжения.** В процессе удара точка контакта  $S$  сначала скользит налево, а затем направо. Этот случай имеет место, когда не выполнено условие (8) или

$$f < \frac{bh}{\rho^2 + h^2} < \frac{\rho^2 + b^2}{bh}.$$

Здесь кроме (8) использовано неравенство

$$\frac{bh}{\rho^2 + h^2} < \frac{\rho^2 + b^2}{bh}, \quad (14)$$

которое всегда справедливо. Действительно, в силу выражения (1) значение  $b \geq 0$  и неотрицательности  $h$  оно эквивалентно неравенству  $b^2 h^2 < (\rho^2 + b^2)(\rho^2 + h^2)$ , где радиус инерции  $\rho \neq 0$ .

**Изменение направления скольжения в фазе деформации.** При этом  $t^- \leq t^* \leq t' \leq t^+$  и  $u_n^* \leq 0$ , где  $t^*$  — момент изменения направления скольжения в процессе удара.

На первом этапе фазы деформации при  $t \in [t^-, t^*]$  точка контакта скользит налево,  $u_\tau^- < 0$ ,  $u_n^* = 0$ ,  $R_\tau^* = fR_n^*$ , где  $u_n^*$ ,  $u_\tau^*$  — скорость точки контакта  $S$  в момент смены направления скольжения;  $R_n^*$ ,  $R_\tau^*$  — импульсы ударной реакции в течение первого этапа фазы деформации. Из уравнений удара для первого этапа фазы деформации получаем

$$R_n^* = \frac{-m\rho^2 u_\tau^-}{bh + f(\rho^2 + h^2)}, \quad u_n^* = u_n^- - u_\tau^- \frac{[\rho^2 + b^2 + fbh]}{bh + f(\rho^2 + h^2)}.$$

На втором этапе фазы деформации при  $t \in [t^*, t']$  точка контакта скользит направо,  $u_n^* = 0$ ,  $u_\tau' > 0$ ,  $u_n' = 0$ ,  $R_\tau^{**} = -fR_n^{**}$ , где  $R_n^{**}$ ,



$R_{\tau}^{**}$  — импульсы ударной реакции в течение второго этапа фазы деформации. Из уравнений удара для второго этапа фазы деформации получаем

$$R_n^{**} = \frac{-m\rho^2 u_n^*}{\rho^2 + b^2 - f bh},$$

$$u_{\tau}' = -u_n^* \frac{[bh - f(\rho^2 + h^2)]}{\rho^2 + b^2 - f bh}.$$

При  $t \in [t', t^+]$  точка контакта скользит направо,  $u_{\tau}' \geq 0$ ,  $u_{\tau}^+ > 0$ ,  $u_n' = 0$ ,  $R_{\tau}'' = -f R_n''$ ,  $R_n'' = k R_n'$ ,  $R_n' = R_n^* + R_n^{**}$ . Из уравнений удара для фазы восстановления (6) получаем

$$u_{\tau}^+ = u_{\tau}' + \frac{1}{m\rho^2} k R_n' [bh - f(\rho^2 + h^2)],$$

$$u_n^+ = \frac{1}{m\rho^2} k R_n' (\rho^2 + b^2 - f bh).$$

Этот случай имеет место тогда и только тогда, когда выполняются условия

$$u_n^- \leq 0, \quad u_{\tau}^- < 0, \quad f < \frac{bh}{\rho^2 + h^2}, \quad (15)$$

$$u_n^- [bh + f(\rho^2 + h^2)] - u_{\tau}^- [\rho^2 + b^2 + f bh] \leq 0.$$

### Изменение направления скольжения в фазе восстановления.

При этом  $t^- \leq t' \leq t^* \leq t^+$  и  $u_n^* \geq 0$ . В фазе деформации при  $t \in [t^-, t']$  и на первом этапе фазы восстановления при  $t \in [t', t^*]$  точка контакта скользит налево,  $u_{\tau}^- < 0$ ,  $u_{\tau}' < 0$ ,  $u_{\tau}^* = 0$ ,  $R_{\tau}' = f R_n'$ ,  $R_{\tau}^{**} = f R_n^{**}$ , где  $u_n^*$ ,  $u_{\tau}^*$  — скорость точки контакта  $S$  в момент смены направления скольжения,  $R_n^{**}$ ,  $R_{\tau}^{**}$  — импульсы ударной реакции в течение первого этапа фазы восстановления. Из уравнений удара для фазы деформации (5) и первого этапа фазы восстановления получаем

$$R_n' = \frac{-m\rho^2 u_{\tau}^-}{bh + f(\rho^2 + h^2)}, \quad u_{\tau}' = u_{\tau}^- - u_n^- \frac{[bh + f(\rho^2 + h^2)]}{bh + f(\rho^2 + h^2)},$$

$$R_n^{**} = \frac{-m\rho^2 u_{\tau}'}{bh + f(\rho^2 + h^2)}, \quad u_n^* = -u_{\tau}' \frac{\rho^2 + b^2 + f bh}{bh + f(\rho^2 + h^2)}.$$

На втором этапе фазы восстановления при  $t \in [t^*, t^+]$  точка контакта скользит направо,  $u_\tau^* = 0$ ,  $u_\tau^+ > 0$ ,  $u_n^* \geq 0$ ,  $u_n^+ \geq 0$ ,  $R_\tau^{***} = -f R_n^{***}$ ,  $R_n'' = kR_n'$ ,  $R_n^{***} = kR_n' - R_n^{**}$ . Из уравнений удара для второго этапа фазы восстановления имеем

$$u_\tau^+ = \frac{1}{m\rho^2}(kR_n' - R_n^{**})[bh - f(\rho^2 + h^2)],$$

$$u_n^+ = u_n^* + \frac{1}{m\rho^2}(kR_n' - R_n^{**})(\rho^2 + b^2 - fbh).$$

Этот случай имеет место тогда и только тогда, когда выполняются условия

$$u_n^- \leq 0, u_\tau^- < 0, f < \frac{bh}{\rho^2 + h^2},$$

$$u_n^- [bh + f(\rho^2 + h^2)] - u_\tau^- [\rho^2 + b^2 + fbh] > 0, \quad (16)$$

$$(1+k)u_n^- [bh + f(\rho^2 + h^2)] - u_\tau^- [\rho^2 + b^2 + fbh] \leq 0.$$

Для всех рассмотренных выше случаев определены условия, при которых они имеют место, а также скорость точки контакта  $S$  после удара и импульсы ударных сил реакции опорной поверхности для фаз деформации и восстановления. Найдем полные импульсы ударных реакций в течение всего удара:  $R_n = R_n' + R_n'' = (1+k)R_n'$ ,  $R_\tau = R_\tau' + R_\tau''$ . Причем, если изменяется направление скольжения точки  $S$  в фазе деформации, получаем  $R_n' = R_n^{**} + R_n^{***}$ ,  $R_\tau' = R_\tau^{**} + R_\tau^{***}$ . Если изменяется направление скольжения точки  $S$  в фазе восстановления, имеем  $R_\tau'' = R_\tau^{**} + R_\tau^{***}$ .

Значение угловой скорости тела после удара определяется третьими уравнениями (4)–(5),  $\omega^+ = \omega^- + \frac{R_n b + R_\tau h}{m\rho^2}$ . Скорость центра масс тела после удара вычисляется с помощью соотношений (2).

**Графическая интерпретация условий, соответствующих различным типам удара.** В предыдущем разделе рассмотрены типы движения тела при ударе и получены условия, при которых имеет место тот или иной тип удара. Однако эти условия достаточно сложны и зависят от значений следующих параметров: положения точки контакта относительно центра масс, определяемого параметрами  $b$  и  $h$ ; радиуса инерции тела относительно центра масс  $\rho$ ; коэффициента трения  $f$  тела о поверхность и скорости точки контакта  $S$  в начале удара. Непротиворечивость этих условий и корректность модели

удара (т. е. однозначность определения характеристик движения в конце удара для любого тела и любых значений скоростей в начале удара) далеко не очевидна.

Для упрощения анализа этих условий введем угол трения  $\varphi$  и углы  $\gamma_0, \gamma_1, \gamma_2, \gamma_3, \tilde{\gamma}_0, \tilde{\gamma}_1, \tilde{\gamma}_2, \tilde{\gamma}_3$ :

$$\begin{aligned} \varphi &= \operatorname{arctg}^* f, \quad \gamma_0 = \operatorname{arctg}^* \frac{\rho^2 + b^2}{bh}, \quad \gamma_1 = \operatorname{arctg}^* \frac{bh}{\rho^2 + h^2}, \\ \gamma_2 &= \operatorname{arctg}^* \frac{\rho^2 + b^2 + fbh}{bh + f(\rho^2 + h^2)}, \quad \gamma_3 = \operatorname{arctg}^* \frac{\rho^2 + b^2 - fbh}{bh - f(\rho^2 + h^2)}, \quad (17) \\ \tilde{\gamma}_i &= \operatorname{arctg}^* \frac{\operatorname{tg} \gamma_i}{1+k}, \quad i = 0, 1, 2, 3. \end{aligned}$$

При этом

$$\begin{aligned} \operatorname{tg} \gamma_2 &= \operatorname{tg} \gamma_1 \frac{\operatorname{tg} \gamma_0 + \operatorname{tg} \varphi}{\operatorname{tg} \gamma_1 + \operatorname{tg} \varphi}, \\ \operatorname{tg} \gamma_3 &= \operatorname{tg} \gamma_1 \frac{\operatorname{tg} \gamma_0 - \operatorname{tg} \varphi}{\operatorname{tg} \gamma_1 - \operatorname{tg} \varphi}. \end{aligned}$$

Учитывая неравенство (14), получаем  $0 \leq \gamma_1 \leq \gamma_2 \leq \gamma_0 \leq \frac{\pi}{2}$ .

Отметим, что здесь и далее  $\operatorname{arctg}^* x \in [0, \pi]$  при  $x \in (-\infty, +\infty)$ , т. е.

$$\operatorname{arctg}^* x = \begin{cases} \operatorname{arctg} x, & \text{если } x > 0, \\ \operatorname{arctg} x + \pi, & \text{если } x < 0. \end{cases}$$

При этом  $\operatorname{arctg}^*(\pm\infty) = \pi/2$ ;  $\operatorname{arctg}^* x \rightarrow 0$ , если  $x \rightarrow 0$  и  $x > 0$ ;  $\operatorname{arctg}^* x \rightarrow \pi$ , если  $x \rightarrow 0$  и  $x < 0$ .

Введем следующие множества значений скорости точки контакта  $S$  в начале удара,  $u_\tau^-, u_n^-$ :

$$\Pi_n^- = \{(u_\tau^-, u_n^-) : u_n^- \leq 0\},$$

$$\Pi_\tau^- = \{(u_\tau^-, u_n^-) : u_\tau^- \leq 0\}, \quad \Pi_\tau^+ = \{(u_\tau^-, u_n^-) : u_\tau^- \geq 0\},$$

$$\Pi_1 = \{(u_\tau^-, u_n^-) : u_n^-(\rho^2 + h^2) - u_\tau^- bh \leq 0\} = \{(u_\tau^-, u_n^-) : u_n^- - u_\tau^- \operatorname{tg} \gamma_1 \leq 0\},$$

$$\begin{aligned} \Pi_2 &= \{(u_\tau^-, u_n^-) : u_n^- [bh + f(\rho^2 + h^2)] - u_\tau^- [\rho^2 + b^2 + fbh] \leq 0\} = \\ &= \{(u_\tau^-, u_n^-) : u_n^- - u_\tau^- \operatorname{tg} \gamma_2 \leq 0\}, \end{aligned}$$

$$\begin{aligned}\tilde{\Pi}_2 &= \{(u_\tau^-, u_n^-): (1+k)u_n^-[bh + f(\rho^2 + h^2)] - u_\tau^-[\rho^2 + b^2 + fbh] \leq 0\} = \\ &= \{(u_\tau^-, u_n^-): u_n^- - u_\tau^- \operatorname{tg} \tilde{\gamma}_2 \leq 0\},\end{aligned}$$

$$\begin{aligned}\Pi_3 &= \{(u_\tau^-, u_n^-): u_n^-[bh - f(\rho^2 + h^2)] - u_\tau^-[\rho^2 + b^2 - fbh] \geq 0\} = \\ &= \{(u_\tau^-, u_n^-): u_n^- - u_\tau^- \operatorname{tg} \gamma_3 \leq 0 \text{ при } \varphi > \gamma_1, \\ &u_n^- - u_\tau^- \operatorname{tg} \gamma_3 \geq 0 \text{ при } \varphi < \gamma_1, u_\tau^- \leq 0 \text{ при } \varphi = \gamma_1\},\end{aligned}$$

$$\begin{aligned}\tilde{\Pi}_3 &= \{(u_\tau^-, u_n^-): (1+k)u_n^-[bh - f(\rho^2 + h^2)] - u_\tau^-[\rho^2 + b^2 - fbh] \geq 0\} = \\ &= \{(u_\tau^-, u_n^-): u_n^- - u_\tau^- \operatorname{tg} \tilde{\gamma}_3 \leq 0 \text{ при } \varphi > \gamma_1, u_n^- - u_\tau^- \operatorname{tg} \tilde{\gamma}_3 \geq 0 \text{ при } \varphi < \gamma_1, \\ &u_\tau^- \leq 0 \text{ при } \varphi = \gamma_1\}.\end{aligned}$$

Каждое из этих множеств представляет собой полуплоскость. В силу условий (9)–(13), (15), (16) имеем, что в течение удара точка контакта  $S$ :

останавливается в фазе деформации тогда и только тогда, когда  $(u_\tau^-, u_n^-) \in \Pi_n^- \cup \Pi_1^- \cup \Pi_2^- \cup \Pi_3^-$  и  $\varphi \geq \gamma_1$ ;

скользит направо и останавливается в фазе восстановления тогда и только тогда, когда  $(u_\tau^-, u_n^-) \in \Pi_n^- \cup \Pi_\tau^+ \cup -\Pi_3^- \cup \tilde{\Pi}_3^-$  и  $\gamma_0 \geq \varphi \geq \gamma_1$ ;

скользит налево и останавливается в фазе восстановления тогда и только тогда, когда  $(u_\tau^-, u_n^-) \in \Pi_n^- \cup \Pi_\tau^- \cup -\Pi_2^- \cup \tilde{\Pi}_2^-$  и  $\varphi \geq \gamma_1$ ;

скользит направо (полное скольжение) тогда и только тогда, когда  $(u_\tau^-, u_n^-) \in \Pi_n^- \cup \Pi_\tau^+ \cup -\Pi_3^- \cup -\tilde{\Pi}_3^-$  и  $\varphi \leq \gamma_0$ ;

скользит налево (полное скольжение) тогда и только тогда, когда  $(u_\tau^-, u_n^-) \in \Pi_n^- \cup \Pi_\tau^- \cup -\tilde{\Pi}_2^-$ ;

изменяет направление скольжения в фазе деформации (сначала скользит налево, а затем направо) тогда и только тогда, когда  $(u_\tau^-, u_n^-) \in \Pi_n^- \cup \Pi_\tau^- \cup \Pi_2^-$  и  $\varphi \leq \gamma_1$ ;

изменяет направление скольжения в фазе восстановления (сначала скользит налево, а затем направо) тогда и только тогда, когда  $(u_\tau^-, u_n^-) \in \Pi_n^- \cup \Pi_\tau^- \cup -\Pi_2^- \cup \tilde{\Pi}_2^-$  и  $\varphi \leq \gamma_1$ .

Отметим, что характер движения точки контакта  $S$  в процессе удара зависит от направления скорости точки  $S$  до удара и не зависит от ее модуля. Введем угол

$$\beta = \operatorname{arctg}^* \frac{u_n^-}{u_\tau^-},$$

где  $\beta \in [0, \pi]$ , который является углом падения точки  $S$ , отсчитываемым от касательного к опорной поверхности направления (см. рис. 1). Тип удара или характер движения точки контакта  $S$  в процессе удара определяется соотношением значений угла трения  $\varphi$ , угла падения  $\beta$  и углов  $\gamma_i, \tilde{\gamma}_i$  ( $i = 0, 1, 2, 3$ ). На рис. 2 приведена зависимость углов  $\gamma_2, \gamma_3, \tilde{\gamma}_2, \tilde{\gamma}_3$  от угла трения  $\varphi$  и по осям отложены значения углов  $\gamma_0, \gamma_1, \tilde{\gamma}_0, \tilde{\gamma}_1$ .

Анализ условий, определяющих тип удара с учетом приведенных на рис. 2 зависимостей, показывает, что некоторые из этих условий являются избыточными. На рис. 3 показаны области значений угла трения  $\varphi$  и угла падения  $\beta$ , соответствующие различным типам удара. В качестве границ, разделяющих эти области, служат зависимости углов  $\gamma_2, \gamma_3, \tilde{\gamma}_2, \tilde{\gamma}_3$  от угла трения  $\varphi$ .

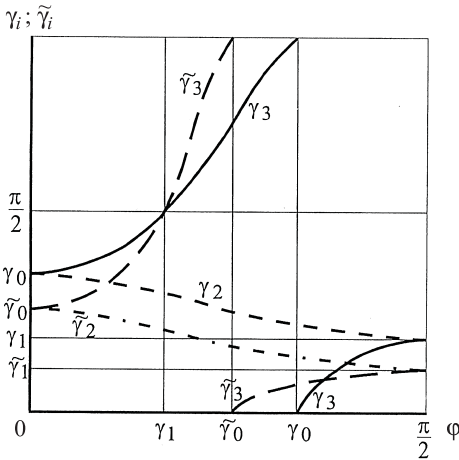


Рис. 2. Зависимости углов  $\gamma_2, \gamma_3, \tilde{\gamma}_2, \tilde{\gamma}_3$  от угла трения  $\varphi$

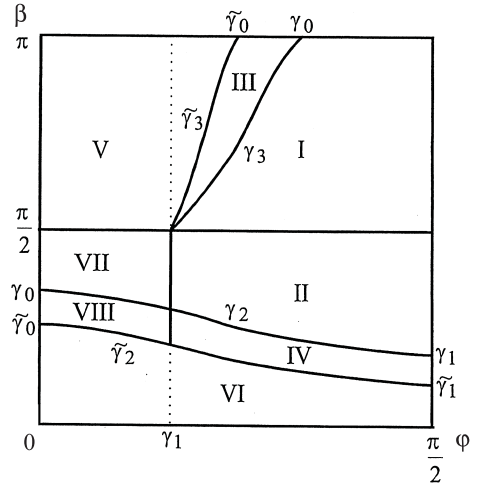


Рис. 3. Области I–VIII при упругом ударе

Аналитически эти условия можно представить следующим образом. В процессе удара точка контакта  $S$  в областях:

I, т. е. при  $\varphi \geq \gamma_1, \frac{\pi}{2} \leq \beta \leq \gamma_3$ , скользит направо и останавливается в фазе деформации;

II, т. е. при  $\varphi \geq \gamma_1, \gamma_2 \leq \beta \leq \frac{\pi}{2}$ , скользит налево и останавливается в фазе деформации;

III, т. е. при  $\varphi \geq \gamma_1, \gamma_3 < \beta \leq \tilde{\gamma}_3$ , скользит направо и останавливается в фазе восстановления;

IV, т. е. при  $\varphi \geq \gamma_1$ ,  $\tilde{\gamma}_2 \leq \beta < \gamma_2$ , скользит налево и останавливается в фазе восстановления;

V, т. е. при  $\beta \geq \frac{\pi}{2}$  и  $\beta > \tilde{\gamma}_3$ , скользит направо (полное скольжение);

VI, т. е. при  $\beta < \tilde{\gamma}_2$  скользит налево (полное скольжение);

VII, т. е. при  $\varphi < \gamma_1$ ,  $\gamma_2 \leq \beta \leq \frac{\pi}{2}$ , изменяет направление скольжения в фазе деформации (сначала скользит налево, затем направо);

VIII, т. е. при  $\varphi < \gamma_1$ ,  $\tilde{\gamma}_2 \leq \beta < \gamma_2$ , изменяет направление скольжения в фазе восстановления (сначала скользит налево, затем направо).

Полученное решение является корректным. Любым начальным условиям соответствует единственный вполне определенный характер движения в процессе удара и наблюдается непрерывная зависимость от параметров. На границах областей и, более того, в точках бифуркации этих границ для определения характера движения тела при ударе можно использовать формулы для любой из пограничных областей. Результат будет один и тот же.

Напомним, что исследование процесса удара проводилось в предположении, что центр масс  $C$  относительно точки контакта  $S$  расположен слева (см. рис. 1), т. е. значение  $b \geq 0$ . Случай, когда значение  $b < 0$ , можно исследовать аналогично либо все результаты получить исходя из соображений симметрии.

Рассмотрим также два частных случая. Если в момент удара центр масс расположен над точкой контакта  $S$ , т. е.  $b = 0$  (этот случай соответствует удару осесимметричного диска о поверхность), то  $\gamma_0 = \pi/2$ ,  $\gamma_1 = 0$ ,  $\gamma_3 = \pi - \gamma_2$ ,  $\tilde{\gamma}_3 = \pi - \tilde{\gamma}_2$ , при этом всегда  $\gamma_1 \leq \varphi \leq \gamma_0$  (рис. 4).

В процессе удара точка контакта  $S$  в областях:

I, т. е. при  $\frac{\pi}{2} \leq \beta \leq \gamma_3$ , скользит направо и останавливается в фазе деформации;

II, т. е. при  $\gamma_2 \leq \beta \leq \frac{\pi}{2}$ , скользит налево и останавливается в фазе деформации;

III, т. е. при  $\gamma_3 < \beta \leq \tilde{\gamma}_3$ , скользит направо и останавливается в фазе восстановления;

IV, т. е. при  $\tilde{\gamma}_2 \leq \beta < \gamma_2$ , сначала скользит налево и останавливается в фазе восстановления;

V, т. е. при  $\beta > \tilde{\gamma}_3$ , скользит направо (полное скольжение);

VI, т. е. при  $\beta < \tilde{\gamma}_2$ , скользит налево (полное скольжение).

При абсолютно неупругом ударе  $k=0$ , и в силу соотношений (17)  $\tilde{\gamma}_i = \gamma_i$ ,  $i = 0, 1, 2, 3$  (рис. 5).

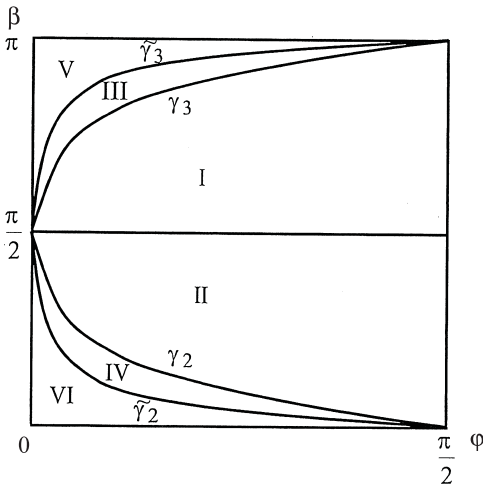


Рис. 4. Области I–VI в случае, когда центр масс тела находится над точкой контакта тела с препятствием

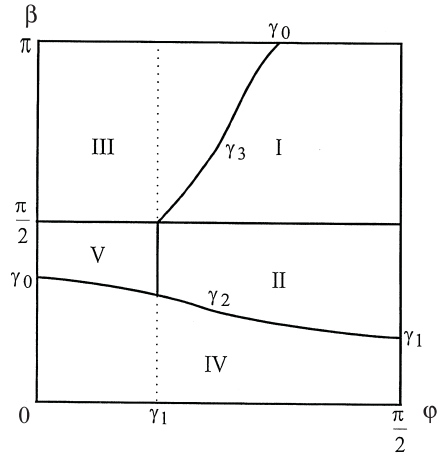


Рис. 5. Области I–V при абсолютно неупругом ударе

В процессе удара точка контакта  $S$  в областях:

I, т. е. при  $\phi \geq \gamma_1$ ,  $\frac{\pi}{2} \leq \beta \leq \gamma_3$ , сначала скользит направо, затем останавливается;

II, т. е. при  $\phi \geq \gamma_1$ ,  $\gamma_2 \leq \beta \leq \frac{\pi}{2}$ , сначала скользит налево, затем останавливается;

III, т. е. при  $\beta \geq \frac{\pi}{2}$  и  $\beta > \gamma_3$ , скользит направо (полное скольжение);

IV, т. е. при  $\beta < \gamma_2$ , скользит налево (полное скольжение);

V, т. е.  $\phi < \gamma_1$ ,  $\gamma_2 \leq \beta \leq \frac{\pi}{2}$ , изменяет направление скольжения (сначала скользит налево затем направо).

Отметим, что случай удара материальной точки о шероховатую поверхность [5] нельзя получить с помощью приведенных в настоящей работе результатов предельным переходом, поскольку параметры  $\rho$ ,  $b$ ,  $h$  одновременно стремятся к нулю, а значит, невозможно в силу (17) однозначно определить углы  $\gamma_0$ ,  $\gamma_1$ ,  $\gamma_2$ ,  $\gamma_3$ ,  $\tilde{\gamma}_0$ ,  $\tilde{\gamma}_1$ ,  $\tilde{\gamma}_2$ ,  $\tilde{\gamma}_3$ .

**Заключение.** Показано, что в плоской задаче об упругом ударе тела о неподвижное препятствие с учетом ударных сил сухого трения

возможны различные типы удара, которые различаются характером скольжения точки контакта в процессе удара. Формулы для расчета характеристик движения тела после удара и импульсов ударных реакций зависят от типа удара. Построены области, соответствующие различным типам удара, на плоскости угол трения  $\varphi$ , угол падения  $\beta$  (угол наклона скорости точки контакта тела с поверхностью до удара). Показана корректность рассмотренной модели удара.

*Работа выполнена при поддержке гранта РФФИ № 13-01-00655-а и гранта Президента РФ № НШ-4748.2012.8 для ведущих научных школ РФ.*

## ЛИТЕРАТУРА

- [1] Аппель П. *Теоретическая механика*. Т. 2. Москва, Физматгиз, 1960, 487 с.
- [2] Болотов Е.А. Об ударе двух тел при действии трения. *Известия Московского инженерного училища*, 1908, ч. 2, вып. 2, с. 43–45.
- [3] Виттенбург Й. *Динамика системы твердых тел*. Москва, Мир, 1980, 292 с.
- [4] Гольдсмит В. *Удар. Теория и физические свойства соударяемых тел*. Москва, Изд-во литературы по строительству, 1965, 448 с.
- [5] Дубинин В.В., Гришин С.А., Лапшин В.В. *Удар материальной точки о шероховатую поверхность. ИПМ РАН. Препринт*, 1997, № 21, 20 с.
- [6] Дягель Р.В., Лапшин В.В. О нелинейной вязкоупругой модели коллинеарного удара Ханта-Кроссли. *Известия РАН. Механика твердого тела*, 2011, № 5, с. 164–173.
- [7] Иванов А.П. *Динамика систем с механическими соударениями*. Москва, Международная программа образования, 1997, 336 с.
- [8] Иванов А.П. Энергетика удара с трением. *Прикладная математика и механика*, 1992, т. 56, вып. 4, с. 527–534.
- [9] Кобринский А.Е., Кобринский А.А. *Виброударные системы (динамика и устойчивость)*. Москва, Наука, 1973, 592 с.
- [10] Лапшин В.В., Дубинин В.В. *Абсолютно неупругий удар тела о шероховатую поверхность. ИПМ РАН. Препринт*, 1998, № 18, 18 с.
- [11] Лапшин В.В. Удар о поверхность тела с дополнительной опорой. *Вестник МГТУ им. Н.Э. Баумана. Сер. Естественные науки*, 2006, № 2, с. 45–53.
- [12] Лапшин В.В. *Механика и управление движением шагающих машин*. Москва, Изд-во МГТУ им. Н.Э. Баумана, 2012, 199 с.
- [13] Маркеев А.П. *Теоретическая механика*. Москва, Наука, 1990, 414 с.
- [14] Нагаев Р.Ф. *Механические процессы с повторными затухающими соударениями*. Москва, Наука, 1985, 200 с.
- [15] Ньютон И. *Математические основы натурофилософии*. Собр. тр. акад. А.Н. Крылова, т. 7. Москва; Ленинград, Изд-во АН СССР, 1936, с. 1–676.
- [16] Пановко Я.Г. *Введение в теорию механического удара*. Москва, Наука, 1977, 232 с.
- [17] Плявниекс В.Ю. Расчет косоугольного удара о препятствие. *Вопросы динамики и прочности*. Рига, Зинатне, 1969, № 18, с. 87–109.
- [18] Раус Э.Дж. *Динамика системы твердых тел*. Т. 1. Москва, Наука, 1983, 463 с.



- [19] Самсонов В.А. *Очерки о механике: Некоторые задачи, явления и парадоксы*. Москва, Наука, 1980, 64 с.
- [20] Формальский А.М. *Моделирование антропоморфных механизмов*. Москва, Наука, 1982, 368 с.
- [21] Hertz H. Über die berührung fester elastischer körper. *Journal reine und angewandte mathematik*, 1882, vol. 92, ss. 156–171.
- [22] Hunt K.H., Crossley F.R.E. Coefficient of restitution interpreted as damping in vibroimpact. *ASME Journal of applied mechanics*, 1975, № 6, pp. 440–445.
- [23] Poisson S.D. *Traeté de mecanique*. Bruxeller, Naumann, 1838, 447 p.

Статья поступила в редакцию 26.06.2013

Ссылку на эту статью просим оформлять следующим образом:

Лапшин В.В. Удар тела о препятствие. *Инженерный журнал: наука и инновации*, 2013, вып. 12. URL: <http://engjournal.ru/catalog/eng/teormech/1134.html>

**Лапшин Владимир Владимирович** родился 1954 г., окончил механико-математический факультет МГУ им. М.В. Ломоносова в 1975 г., д-р физ.-мат. наук, профессор кафедры теоретической механики МГТУ им. Н.Э. Баумана. Основные научные интересы: механика и управление движением шагающих аппаратов, робототехника. e-mail: [vladimir@lapshin.net](mailto:vladimir@lapshin.net)